

I-126 スパンの大きさアーチ橋の設計

建設省近畿地方建設局 正員 沢井広之
東京大学大学院 学生員 堀川浩甫
(株) 橋梁設計事務所 謹。高尾芳

著者らはスパン 200 m の 2-ヒンジアーチ橋アーチの概算設計を行ったが、その内から系の変化による二次的な応力の問題をとりまとめて報告し、あわせて実用式の提案を行う。設計に用いた基本数値は図-1 の通りである。

アーチリブの活荷重による任意点の鉛直変位を v 、水平変位を u とすれば

$$\frac{d^2}{dx^2} (EJ \frac{d^2v}{dx^2}) + (H_d + H) (1 - \tan \psi \frac{dv}{dx}) \frac{d^2v}{dx^2} + \left\{ (g + p) \frac{dv}{dx} - (H_d + H) \tan \psi \frac{d^2v}{dx^2} \right\} \frac{dv}{dx} \\ = p - H \left\{ \frac{d^2u}{dx^2} + (g + p) K(x) - (H_d + H) \tan \psi \frac{d^2u}{dx^2} K(x) \right\} \quad (1)$$

$$u = -H \int_0^x K(x) dx + \int_0^x v \frac{d^2u}{dx^2} dx - v \frac{du}{dx} \Big|_0^x \quad (2)$$

が成立つ。ここに H_d, H はそれぞれ死荷重 (p) および活荷重 (H) に対する水平反力であり、 $K(x)$ は

$$K(x) = \sec \psi \cdot \sec^2 \varphi / EJ \quad (\varphi \text{ および } \psi \text{ はアーチ軸線の変形前と変形後の接線角})$$

$$\tan \psi = \tan \varphi - (1 - \tan \varphi) \frac{dv}{dx} - H K(x) \quad (3)$$

式の右辺第3項は高々 0.01% であるから省略する。式(2)において $x = l$ とすれば $u(l) = 0$ であるから

$$-H \int_0^l K(x) dx + \int_0^l v \frac{d^2u}{dx^2} dx = 0 \quad (2)'.$$

となり (1)(2)(2)'(3) より v, u, H, ψ を計算することができる。計算の順序はまず(1)式を差分方程式に書きかえ、 $EJ = \text{const}$, $H_d + H = \text{const}$, $\psi = \psi_i$ とし、更に水平変位を無視して v を求めこの値を v_i の第1近似値として逐次近似法により求め、式(4)は

$$a_{i+1} v_{i+2} + \{-2(a_{i+1} + a_i) + c_i - d_i\} v_{i+1} + (a_{i+1} + a_i + a_{i-1} - 2c_i) v_i \\ + \{-2(a_i + a_{i-1}) + c_i + d_i\} v_{i-1} + a_{i-1} v_{i-2} = f_{pi} - H f_{hi} \quad (4)'$$

$i = 1, 2, \dots, n$

$$a_i = ET_i / \alpha x^4$$

$$c_i = (H_d + H)(1 + \tan \psi_i \tan \psi_{i+1}) / \alpha x^2$$

$$d_i = -(g + p) \tan \psi_i + (H_d + H) \frac{8f}{l^2} \tan \psi_i / 2 \alpha x$$

$$f_{pi} = p_i \quad \alpha x = l/n$$

$$f_{hi} = \frac{8f}{l^2} + (g + p) K_i - (H_d + H) \tan \psi_i \frac{K_{i+1} - K_{i-1}}{2 \alpha x}$$

数値計算 弓荷重

$g = 12,667 \text{ t/m}$ 活荷重

$p = 3,862 \text{ t/m}$, $Hd =$

1889.5 t とし N 回

目的の解 v_N が

$$|v_N - v_{N-1}| / v_N < 0.001$$

を満足するまで計算を繰り返した。

そのときの N 枚の最大曲げモーメントは表-1 の通りであり正

の最大曲げモーメントを与える

より載荷量、曲げモーメント圖、

およびたわみ曲線は図-2 のよ

うである。また最大曲げモーメント曲線は弾性理論による

値と比較して図-3 に示す。

次に(4)式の各係数を数値的に調べてみると K_i , d_i は微少量とし省略できるが(4)の計算には K_i を考えなければならぬなり、また $\tan \gamma$ と $\tan \varphi$ は図-2 の載荷状態に対する表-3 のようであるが、今 $\tan \gamma = \tan \varphi$ が成立つとして式(4)を次のよう書く。

$$EJ \frac{d^4 v}{dx^4} + C(Hd + H) \frac{d^2 v}{dx^2} = p - H \frac{8f}{\ell^2} \quad (4)$$

$$H \int_0^\ell v_H dx = \int_0^\ell v_p dx, \quad v = v_p - Hv_H \quad (5)$$

ここで $EJ = EJ(x)$ の平均値、 $C = \sec^2 \bar{\varphi} = \sec^2 \varphi$ の平均値とする。

$J = 0.4382 \text{ m}^4$, $C(Hd + H) = 2470 \text{ t}$ (活荷重半載), $C = \sec^2 \bar{\varphi} = 1.151$ とし(4)(5)から影響線を求めて $\ell/4$ 節の曲げモーメントを計算してみると表-2 のようであり、表-1 に示す相似並列による解とよく一致している。従って実用上は(4)(5)は十分な精度をもつものと考える。

なお、この計算は当っては山一計算センター田川氏の手を借りておいたことを附記する。

参考文献

Schindler, A.: Einzelheiten der Berechnung einer vollwandigen Bogenbrücke von 330 m Spannweite nach der Theorie II. Ordnung. Stahlbauausgabe, Dresden, 1959.

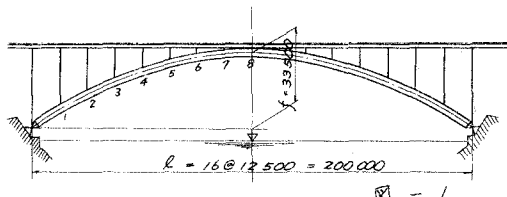
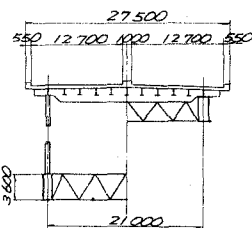


図-1



$\lambda = 258/16$

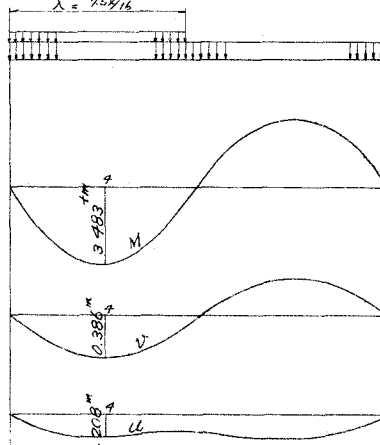


図-2

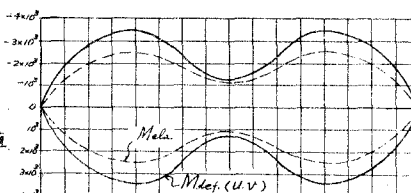


図-3

| | M | H |
|----------|-----------------------|----------------------|
| 弹性理論 | + 2575 t ⁺ | 231.5 t ⁺ |
| | - -2524 | 343.1 |
| 撓度理論 | + 3289 | 230.5 |
| Vのみ考慮場合 | - -3188 | 342.5 |
| 撓度理論 | + 3483 | 231.8 |
| U,V考慮の場合 | - -3498 | 344.5 |

表-1

| | M | H |
|----------|-----------------------|----------------------|
| 近似解 | + 3475 t ⁺ | 231.2 t ⁺ |
| 式(4),(5) | - -3397 | 343.5 |

表-2